



Karlsruher Institut für Technologie

# **1. KIT-interner Workshop zur Wasserstoff- und Brennstoffzellen-Forschung**

Contribution to Hydrogen research of INR  
Karlsruhe, KIT

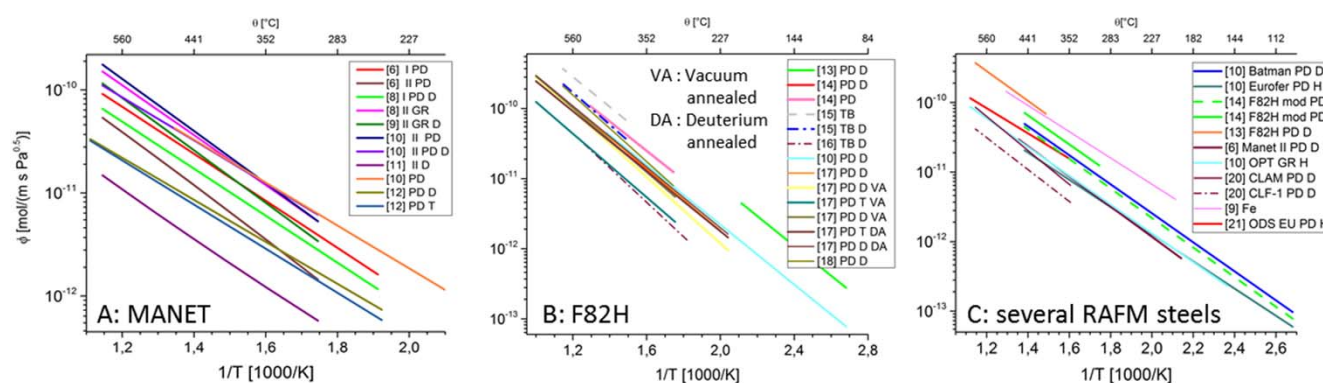
@ 2. März 2021 von 14 – 18 Uhr via Zoom,

Dr. Axel von der Weth, Dr. Daniela Piccioni Koch, Dr. Volker Pasler



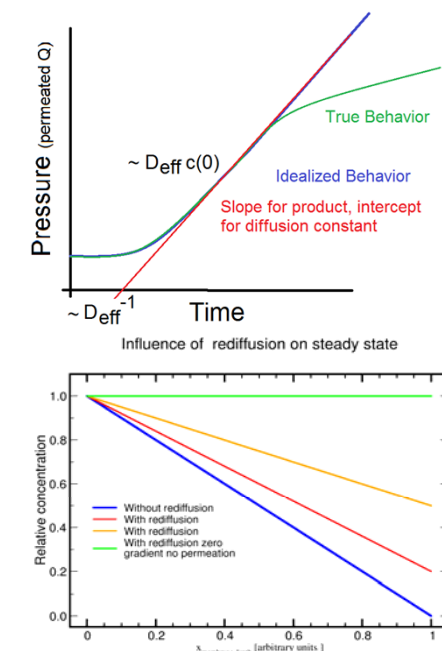
# 1. KIT-interner Workshop zur Wasserstoff-und Brennstoffzellen-Forschung

Main issue: Experimental determination of diffusion constant and Sieverts' constant, currently for FUSION, endothermic RAFM steel

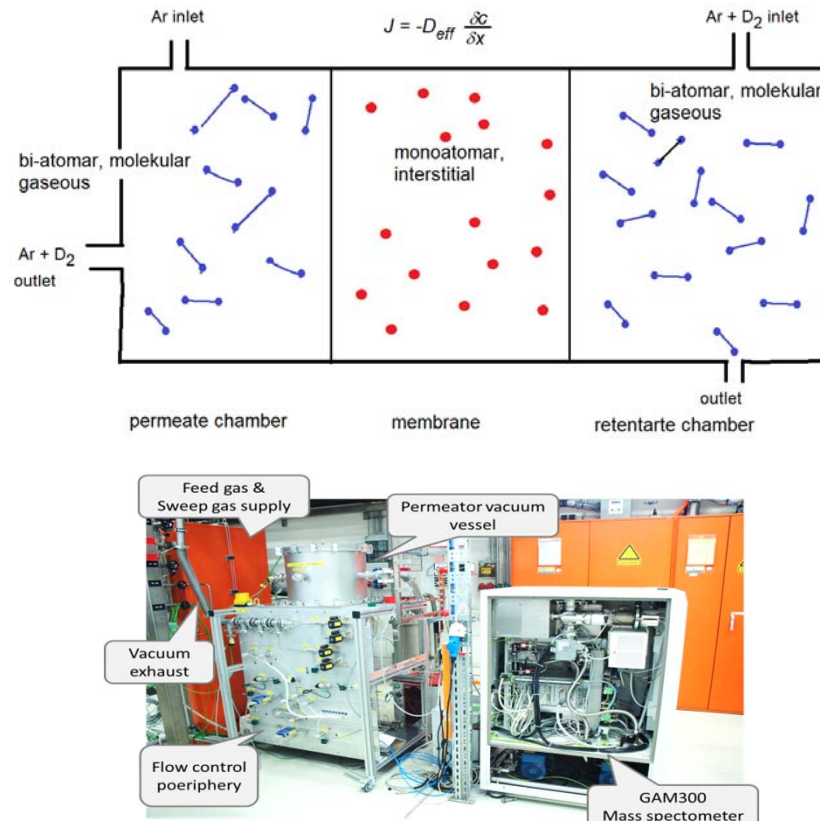


$$j(t)_{measure} = \frac{D_{eff}c(0)d_m^2}{w_m 4 \pi} \left( 1 + 2 \sum_{k=1}^{\infty} (-1)^k e^{\frac{-k^2 \pi^2 D_{eff}(t-t_{off})}{w_m^2}} \right)$$

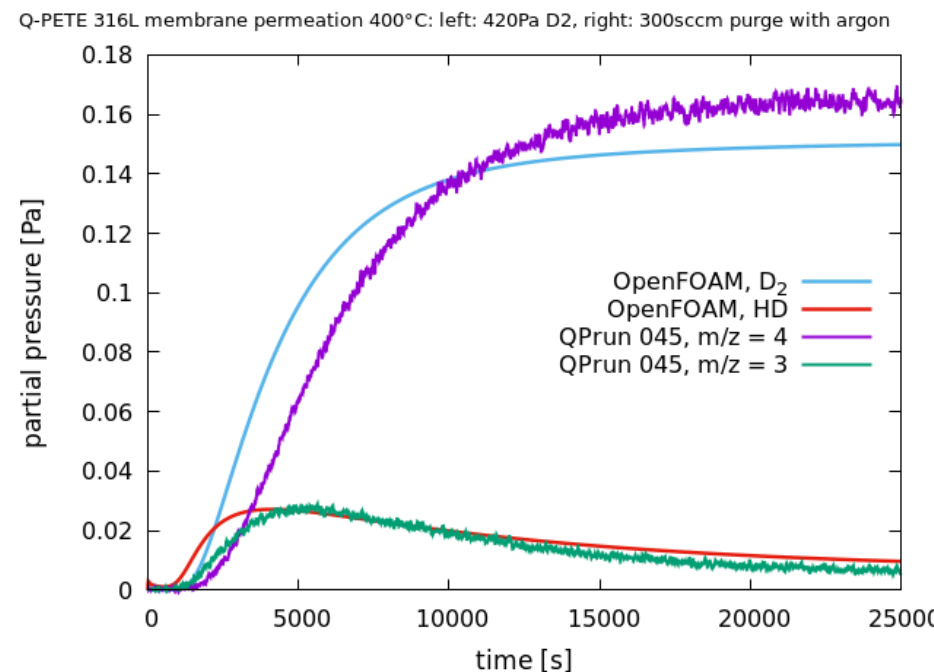
Daynes (1920)



# Q-PETE (Hydrogen Permeation and Transport Experiment)

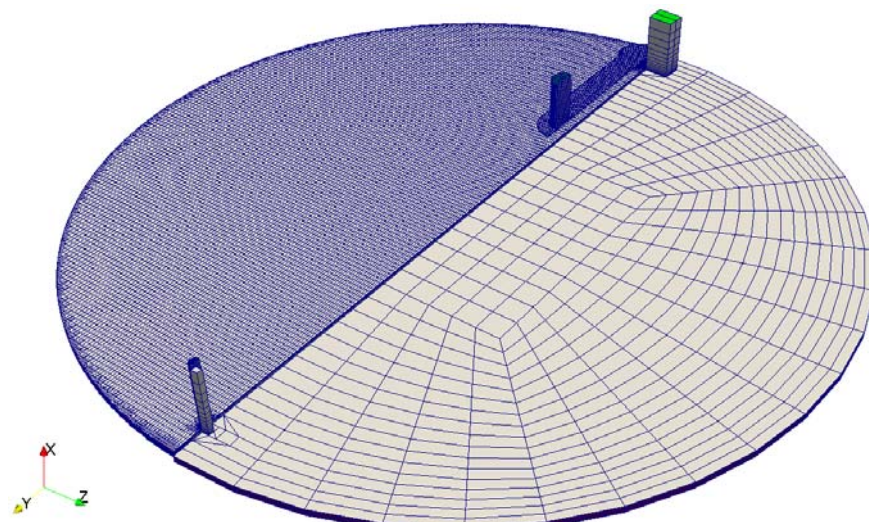


Open FOAM results of two isotops (H+D)



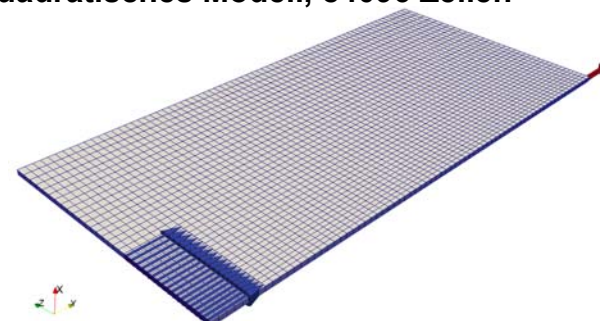
# *„Q-PETE“ in OpenFOAM: unterschiedlich komplexe Modellierungsansätze*

“snappy hex mesh” (CATIA), 406444 Zellen

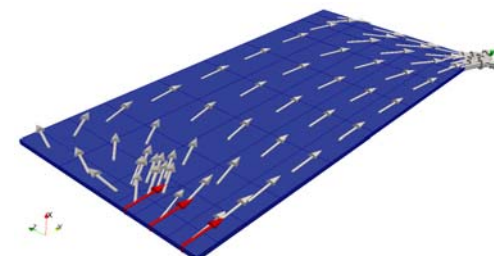


Halbkreismodell, 12180 Zellen

quadratisches Modell, 84096 Zellen



grobes optimiertes quadratisches Modell, 1674 Zellen

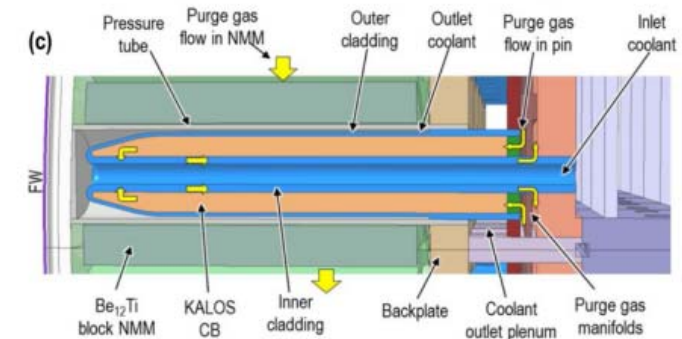


## Simulation einer DEMO “Pin”- Bruteinheit mit OpenFOAM

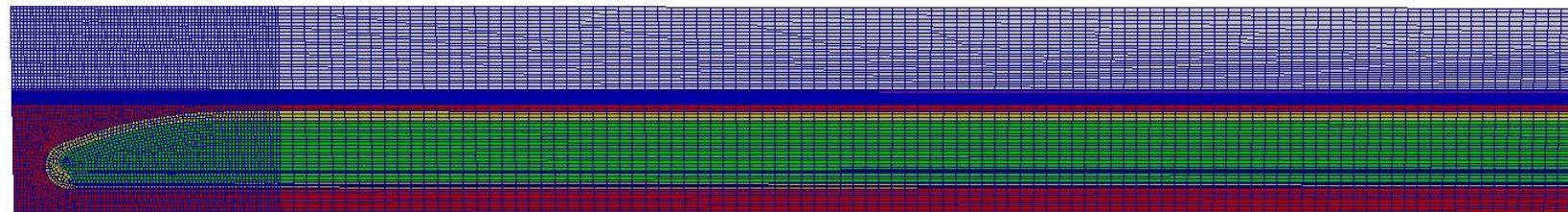
- Tritiumfreisetzung im Brutmaterial
- berechne Tritium in Spülgas, Kühlgas, Wänden.

## Grundlage sind vorhandene Ergebnisse am INR

- 3D Modell mit thermohydraulischen Analysen
- 1D-Tritiumfreisetzung aus Neutronikrechnungen

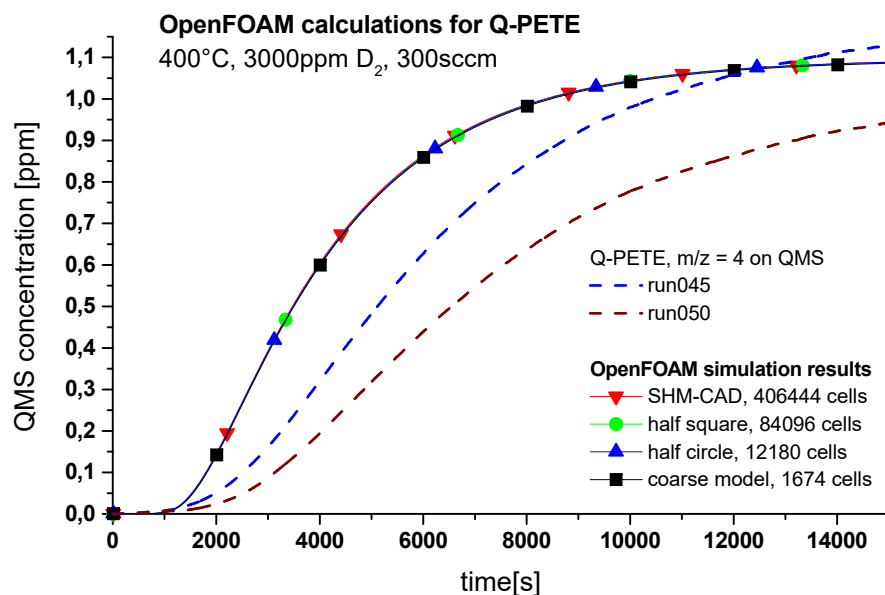


## 2D-Zylindersegment/Schnitt eines Pins (13167 Zellen)



# OpenFOAM Ergebnisse für Q-PETE

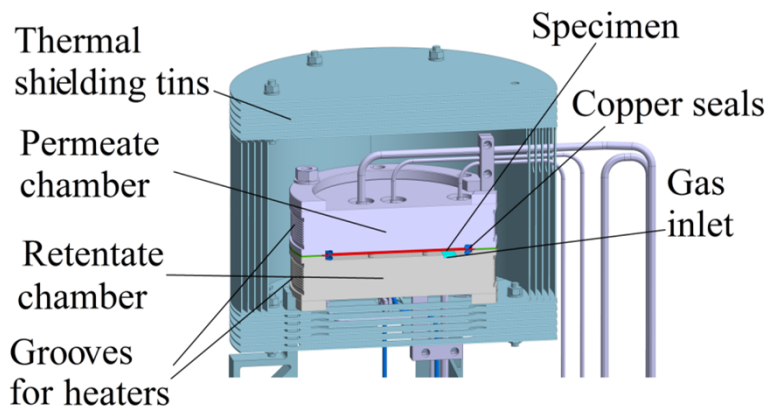
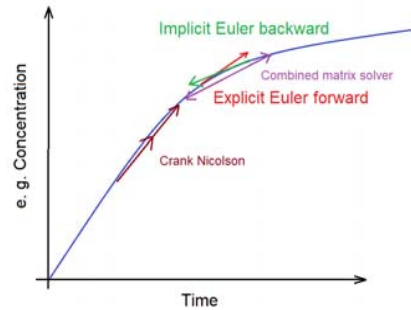
## Möglichkeiten zur Vereinfachung des Mesh



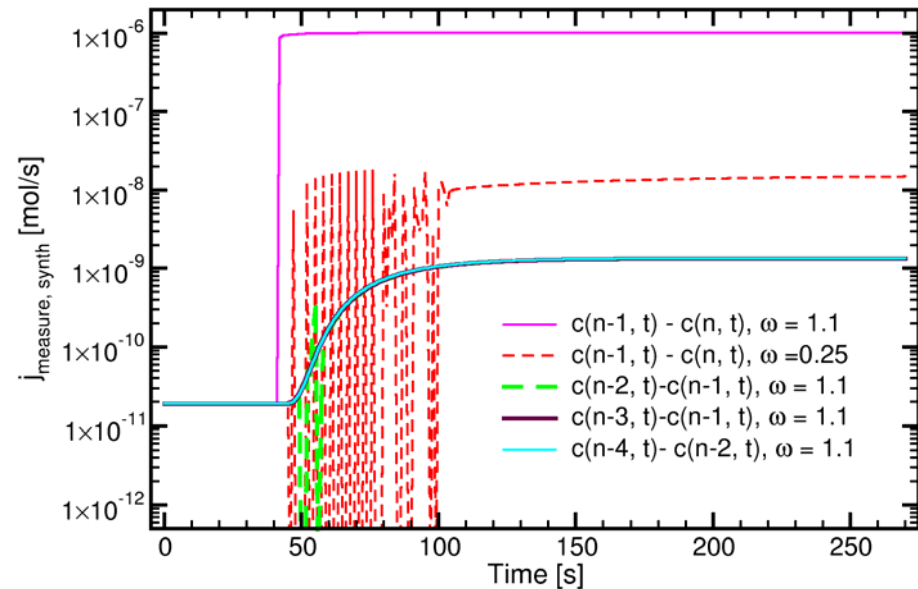
## OpenFOAM Ergebnisse für Tritium-permeation ins Kühlmittel und Tritiumeintrag in die Stahlwände eines DEMO HCPB Pins

	1e-3Pa H <sub>2</sub> im Spülgas	300Pa H <sub>2</sub> im Spülgas
surface-limited (Oberflächengleichungen)	0.2% des erzeugten T 1.5 µg/pin	0.15% des erzeugten T 0.19 µg/pin
diffusion-limited (Sieverts Gesetz)	5% des erzeugten T 1.1 µg/pin	0.6% des erzeugten T 0.16 µg/pin

Application: Hydrogen paths in solid structures  
(embrittlement)



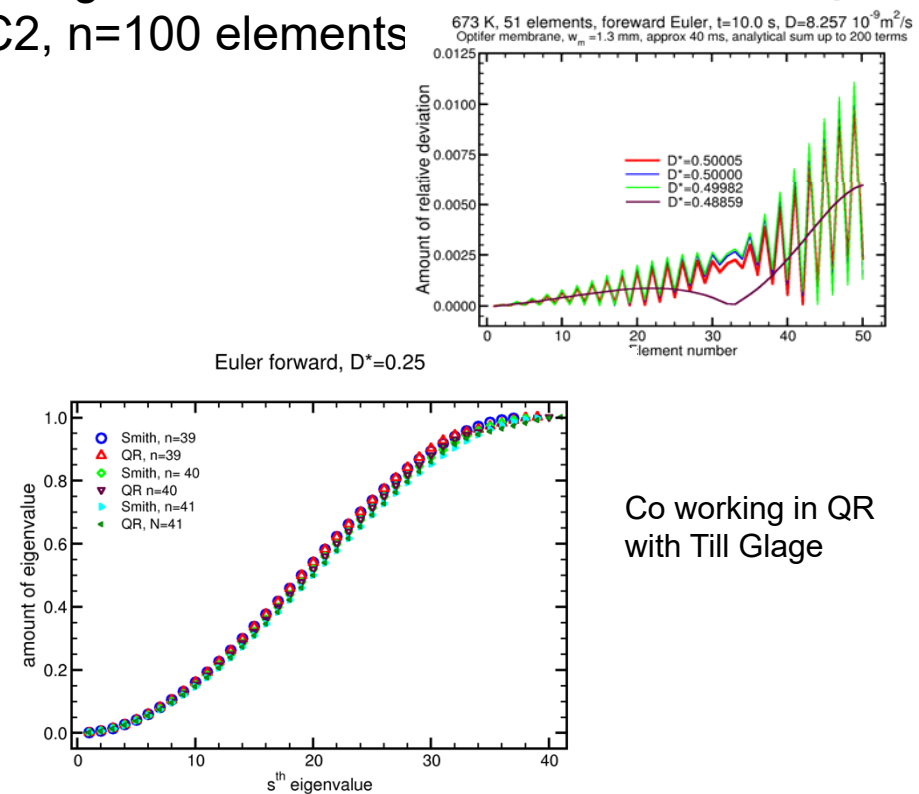
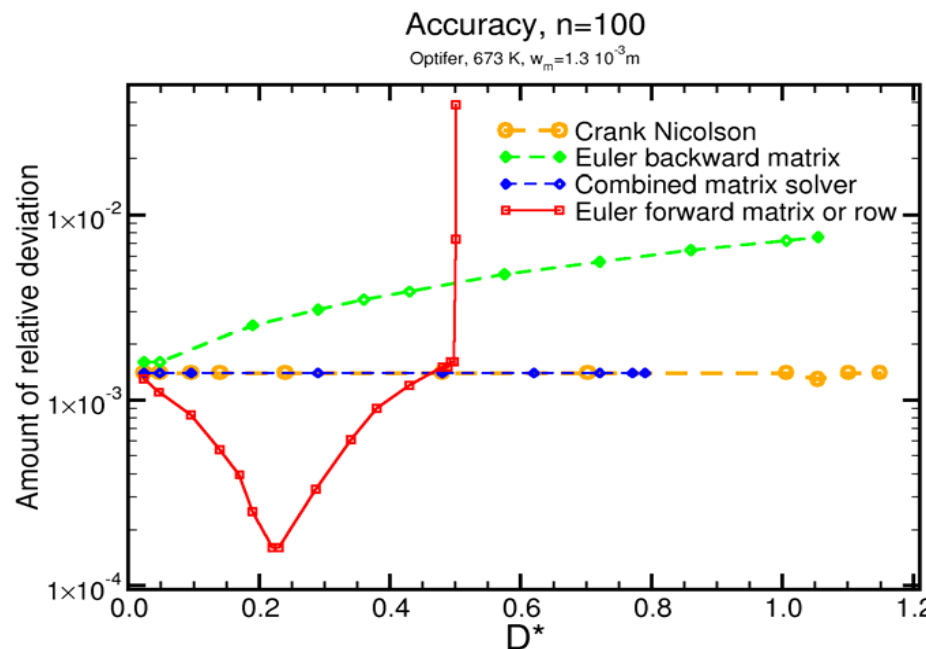
$T=673\text{ K}$ , Optifert,  $150\text{ Pa}$ ,  $w_m = 125\text{ mm}$ ,  $d_m = 1.2\text{ mm}$ ,  $30\text{ ml/min}$   
 $\omega$  SOR parameter,  $n=100$



Solving algorithm: Rediffusion and optimal  $D^* = (n-1)^2 D_{\text{eff}} dt / w_m^2 \leq 0.5$ ,  
 former 17 hour @inrclu (fixed dt), optimised algorithm and use of  
 $D^* = 0.25$  (variable dt), now 40 - 120 s @ UC2, n=100 elements

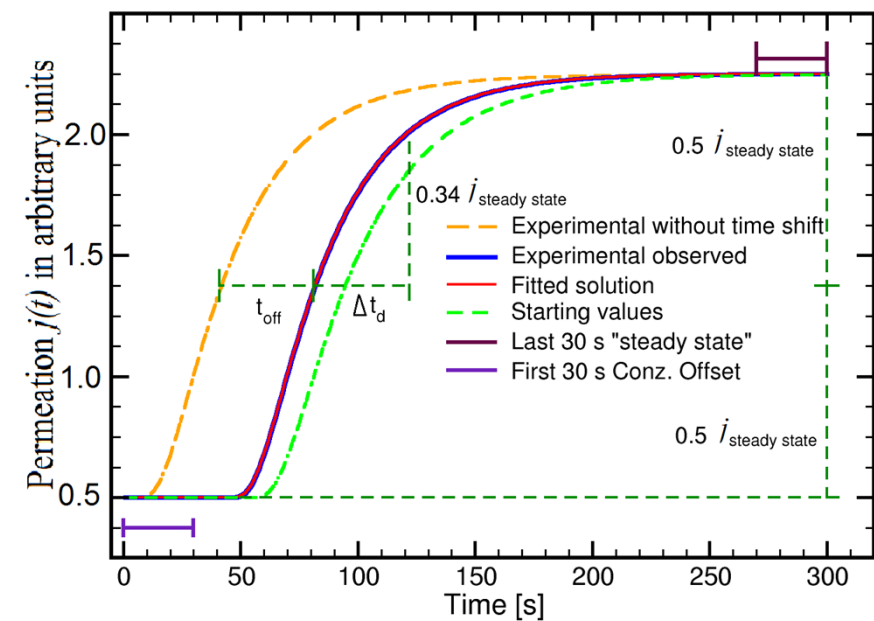
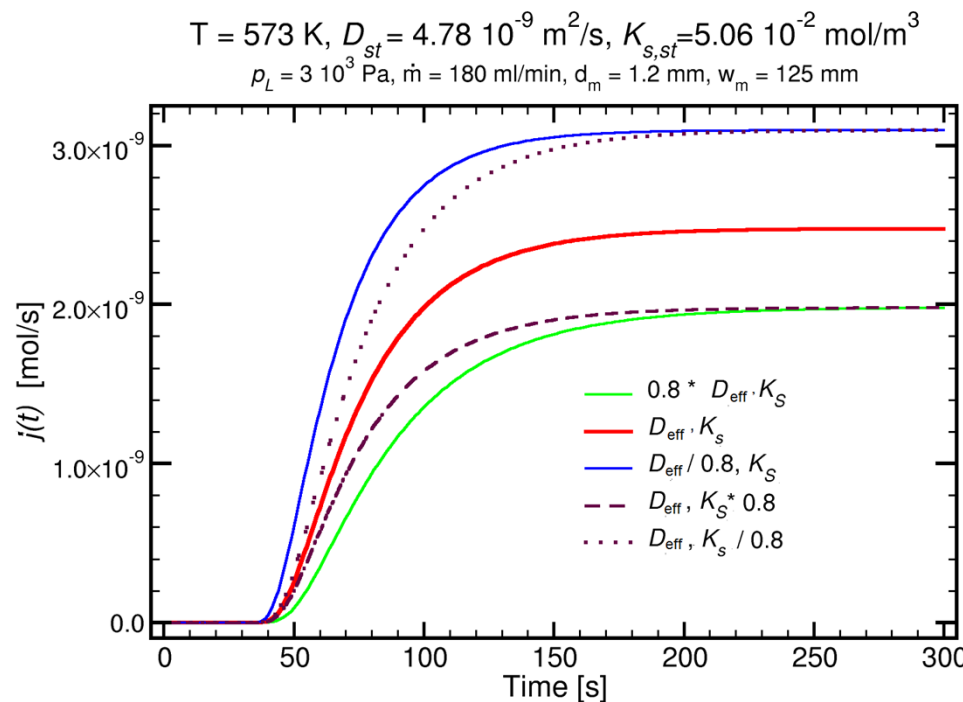


Karlsruher Institut für Technologie

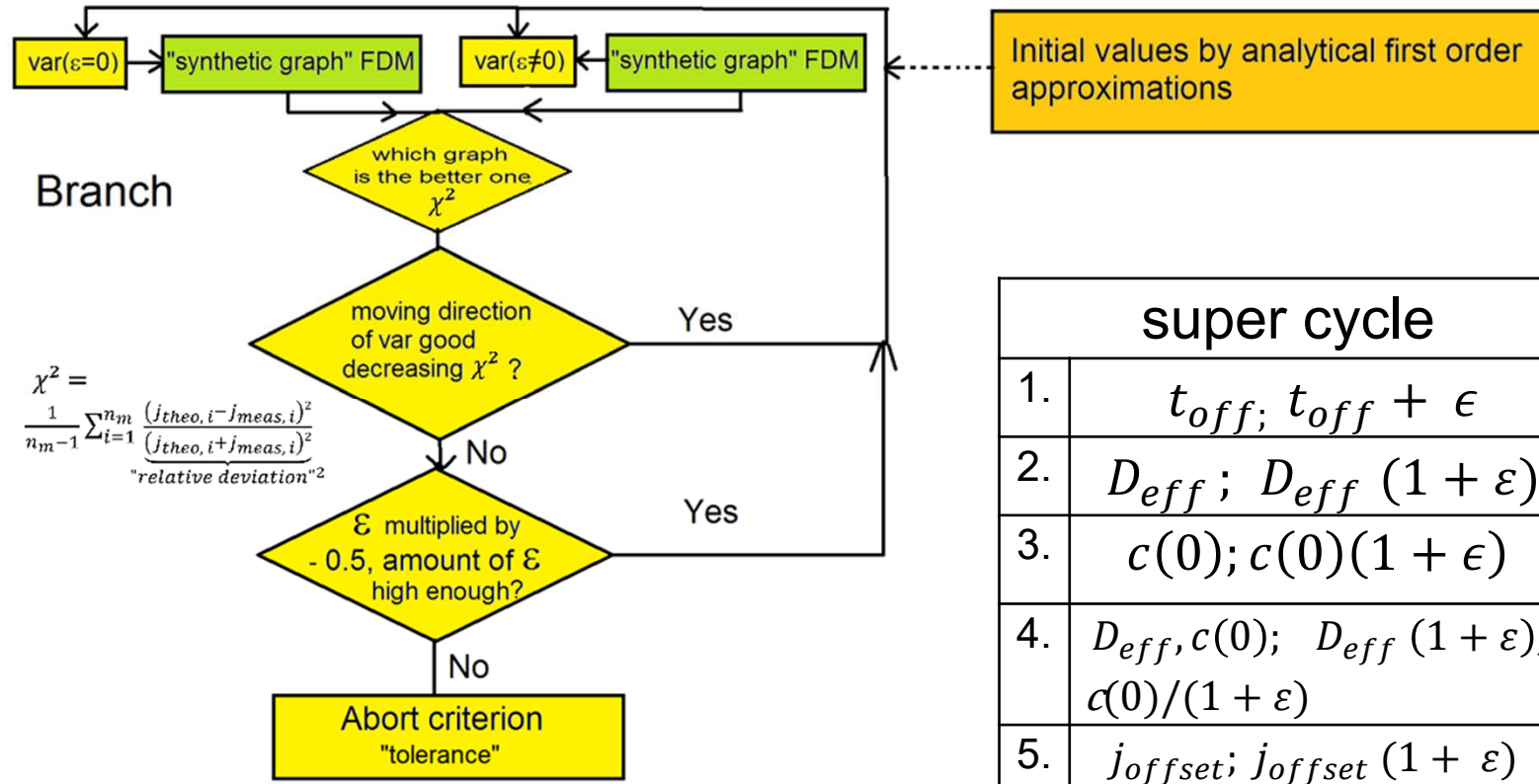


## Co working in QR with Till Glage

## B&B algorithm searching fitting solution depending on transport parameters

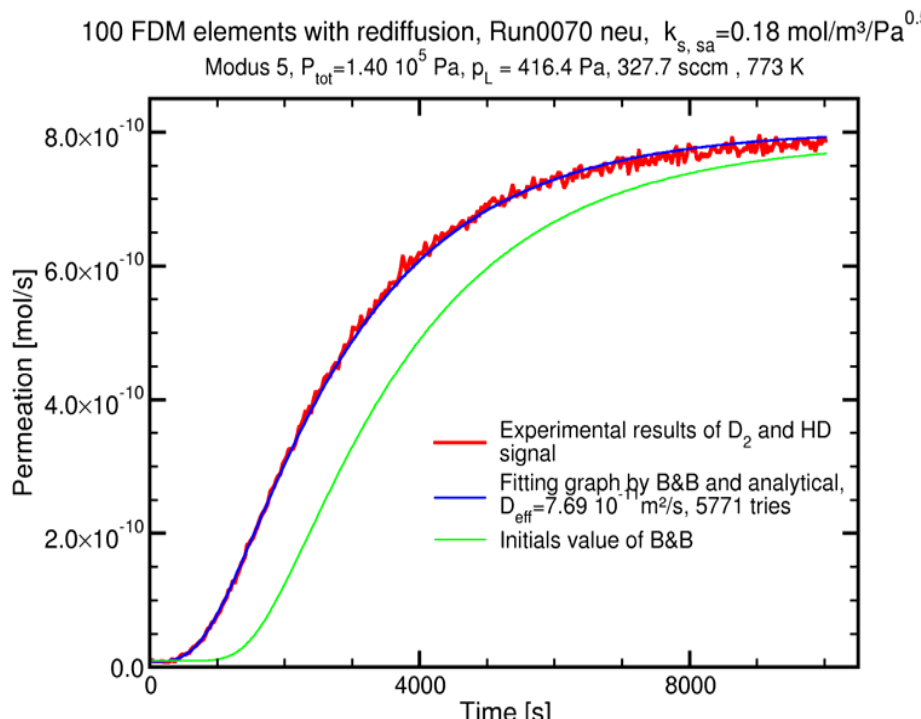


## Solving inverse problem by B&B algorithm

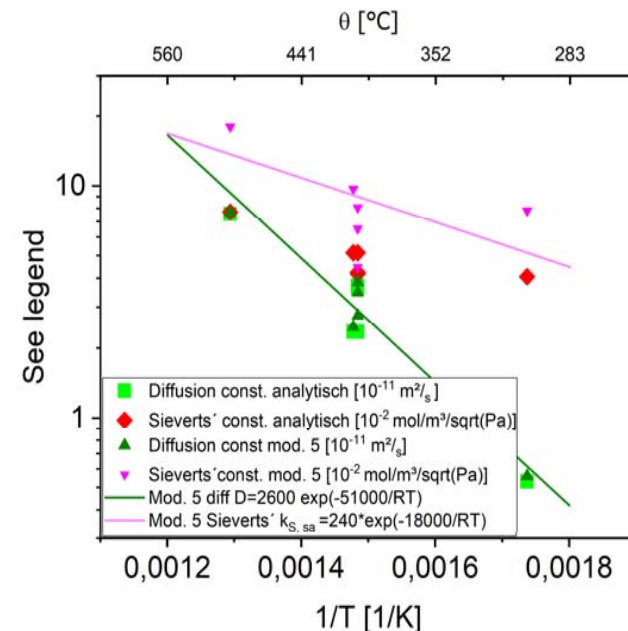


super cycle	bounds
1. $t_{off}; t_{off} + \epsilon$	
2. $D_{eff}; D_{eff} (1 + \epsilon)$	$D_{eff} > 0$
3. $c(0); c(0)(1 + \epsilon)$	$c(0) > 0$
4. $D_{eff}, c(0); D_{eff} (1 + \epsilon), c(0)/(1 + \epsilon)$	$j_{steady\ state} = const.$
5. $j_{offset}; j_{offset} (1 + \epsilon)$	$j_{offset} > 0$

# Q-PETE results



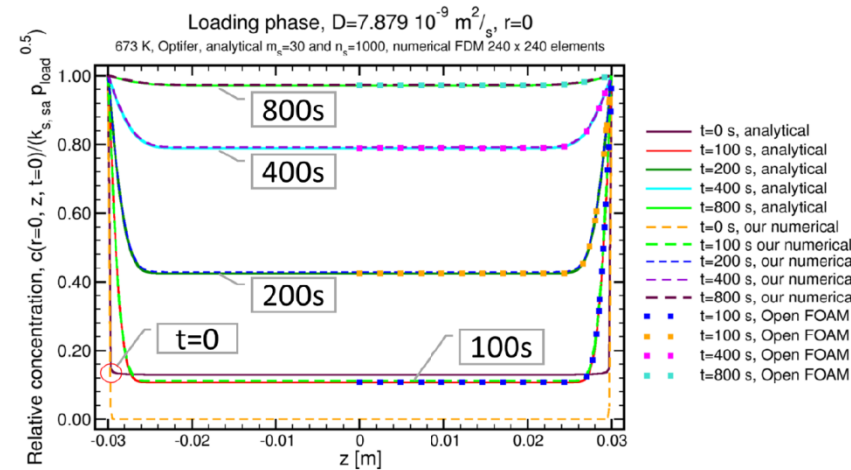
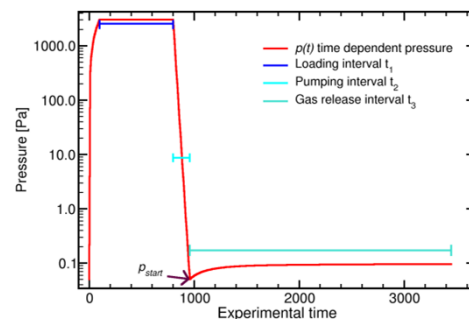
Possible Q-PETE application membrane of fuel cells



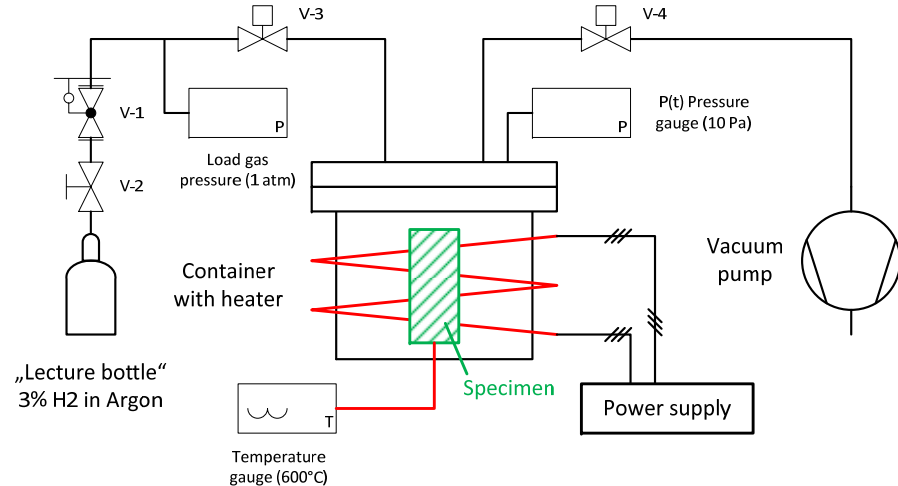
Endotherm, Grant et.al.:  $E_{A, \text{diff}} = 52.4 \text{ kJ/mol}$ ,  $E_{A, ks} = 16.5 \text{ kJ/mol}$  (mod5)

# Gas Release Experiment, status pre setup ready

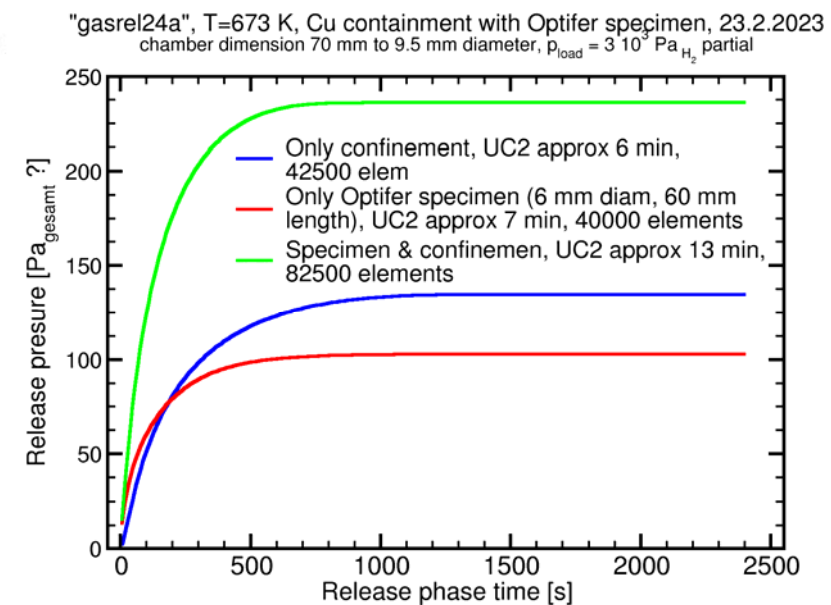
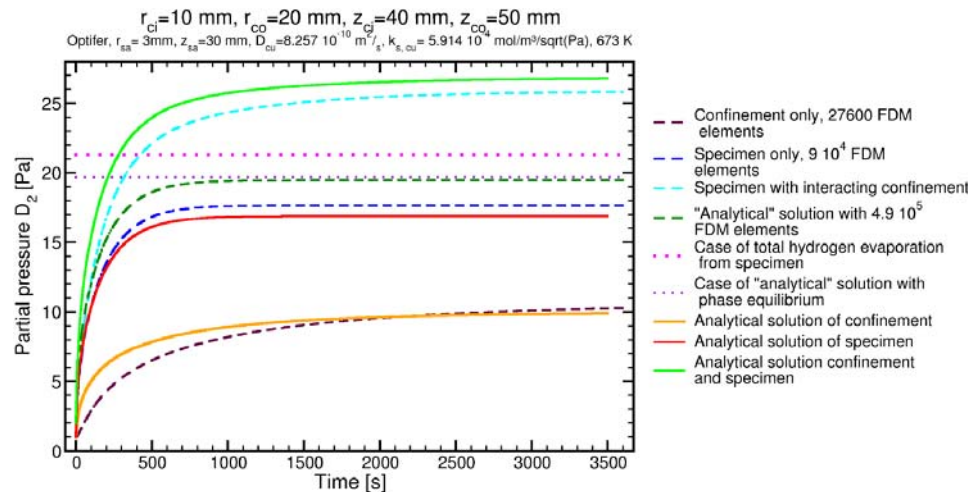
T = 573 K



Analytical Solution: Co working with Marvin Schulz



First try with a CF tube with 19 mm diameter and 5 mm copper plating



Currently most interesting GRID experiment as storage description for “exothermal” hydrogen storage